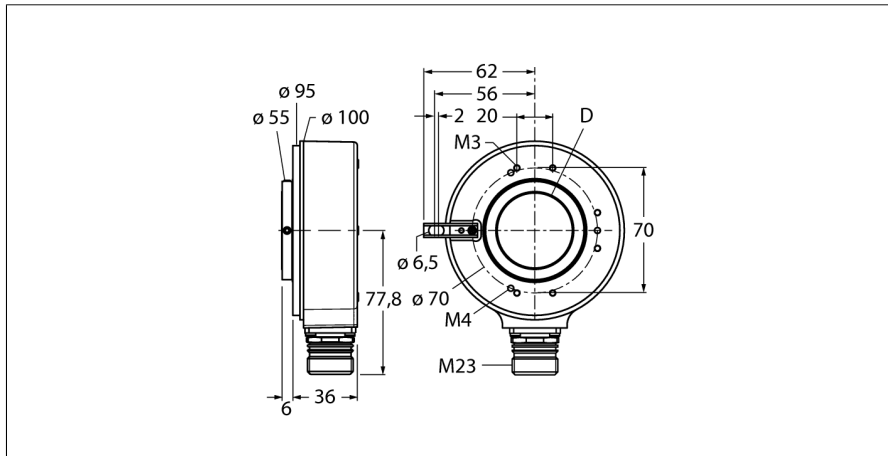


# Rotační snímače polohy

## Inkrementální rotační snímač

### Ri-42H25S4-2B2048-12M23



- příruba s dlouhým upevňovacím elementem, Ø 100 mm
- dutá hřídel, Ø 25mm
- optický měřicí princip
- materiál hřídele: nerez ocel
- stupeň krytí IP65 ze strany hřídele
- -40 ... +70°C
- max. 3000 ot./ min
- 10...30 VDC
- připojení 12pinovým konektorem M23
- pulzní s inverzními signály
- impulzní frekvence max. 300kHz
- 2048 impulzů

**Typové označení** Ri-42H25S4-2B2048-12M23  
**Identifikační číslo** 1545226

|                                |  |
|--------------------------------|--|
| <b>Měřicí princip</b>          | optický                                |
| max. Drehzahl                  | 3.000 U/min                            |
| Moment setrvačnosti rotoru     | 150 x10 <sup>6</sup> kgm <sup>2</sup>  |
| Rozběhový krouticí moment      | 0.2 Nm                                 |
| Okolní teplota                 | -40... +90°C                           |
| <b>Napájecí napětí</b>         | 10...30VDC                             |
| Proud naprázdno I <sub>0</sub> | ≤ 150 mA                               |
| Výstupní proud                 | ≤ 30 mA                                |
| Ochrana proti zkratu           | ano                                    |
| Výstupní funkce                | 8drát, Push-Pull, s inverzními signály |
| Výstup                         | inkrementální                          |
| Inkrementální rozlišení        | 2048                                   |
| Max. impulzní frekvence        | 300 kHz                                |
| Úroveň signálu High            | min. U <sub>s</sub> - 3 V              |
| Úroveň signálu Low             | max. 2,5V                              |

|    |                       |
|----|-----------------------|
| 1  | B inv.                |
| 2  | U <sub>B</sub> sens + |
| 3  | 0 -                   |
| 4  | 0 inv. -              |
| 5  | A                     |
| 6  | A inv.                |
| 7  | n.c.                  |
| 8  | B                     |
| 9  | n.c.                  |
| 10 | GND                   |
| 11 | 0V sens               |
| 12 | U <sub>B</sub> +      |
| PH | shield                |

|                                       |                                     |
|---------------------------------------|-------------------------------------|
| <b>Pouzdro</b>                        | dutá hřídel                         |
| Typ příruby                           | příruba s upevňovacím elementem     |
| Průměr příruby                        | 100 mm                              |
| Typ hřídele                           | dutá hřídel                         |
| Průměr hřídele D                      | 25 mm                               |
| Materiál hřídele                      | ocel                                |
| Materiál pouzdra                      | zinkový odlitek                     |
| Připojení                             | konektor, M23 12 pinů<br>radiální   |
| Odolnost v solné mlze (EN 60068-2-6)  | 100 m/s <sup>2</sup> , 10...2000 Hz |
| Odolnost vůči otřesům (EN 60068-2-27) | 1000 m/s <sup>2</sup> , 6 ms        |
| Protection class housing              | IP65                                |
| Protection class shaft                | IP65                                |

**Součást dodávky** pružný element dlouhý

**Rotační snímače polohy**  
**Inkrementální rotační snímač**  
**Ri-42H25S4-2B2048-12M23**

**TURCK**

Industrial  
Automation

Schéma zapojení

| Signál        | Gnd     | +U <sub>s</sub>      | A | A inv. | B | B inv. | 0 | 0 inv. | stínění |
|---------------|---------|----------------------|---|--------|---|--------|---|--------|---------|
| Obsazení pinů | 10      | 12                   | 5 | 6      | 8 | 1      | 3 | 4      | PH      |
| Signál        | 0V sens | +U <sub>s</sub> sens | - | -      | - | -      | - | -      | -       |
| Obsazení pinů | 11      | 2                    | - | -      | - | -      | - | -      | -       |

**Rotační snímače polohy**  
**Inkrementální rotační snímač**  
**Ri-42H25S4-2B2048-12M23**

**Příslušenství**

| Typové označení | Identifikační číslo |  | Rozměrový náčrtek |
|-----------------|---------------------|--|-------------------|
| RME-5           | 1544616             | Nerezový upevňovací plech pro rotační senzory s dutou hřídelí, průměr roztečné kružnice 149 mm, pro aplikace s axiálním zatížením            |                   |
| RME-6           | 1544617             | Nerezový upevňovací plech pro rotační senzory s dutou hřídelí, variabilní průměr roztečné kružnice 104...206 mm                              |                   |
| RME-10          | 1544621             | Nerezový pružný element pro rotační senzory s dutou hřídelí, průměr roztečné kružnice 110 mm, pro aplikace s vysokým axiálním zatížením      |                   |
| RME-11          | 1544622             | Nerezový pružný element pro rotační senzory s dutou hřídelí, průměr roztečné kružnice 76 mm, pro aplikace s omezeným prostorem               |                   |
| RME-15          | 1544626             | Kovové upevňovací rameno pro rotační senzory s dutou hřídelí, délka 70mm, pro aplikace s nízkým axiálním a radiálním zatížením, lze nastavit |                   |

**Rotační snímače polohy**  
**Inkrementální rotační snímač**  
**Ri-42H25S4-2B2048-12M23**

**Příslušenství**

| Typové označení | Identifikační číslo |   | Rozměrový náčrtek |
|-----------------|---------------------|---|-------------------|
| RME-16          | 1544627             | Kovové upevňovací rameno pro rotační senzory s dutou hřídelí, délka 100 mm, pro aplikace s nízkým axiálním a radiálním zatížením, lze nastavit                    |                   |
| RME-17          | 1544628             | Kovové upevňovací rameno pro rotační senzory s dutou hřídelí, délka 150 mm, pro aplikace s nízkým axiálním a radiálním zatížením, lze nastavit                    |                   |
| RME-18          | 1544629             | Nerezová statorová spojka pro rotační senzory s dutou hřídelí, průměr roztečné kružnice 119 mm, pro aplikace s axiálním a radiálním zatížením při vysoké dynamice |                   |